

信州大学大学院 (学) ○ 及永則雄  
 信州大学工学部 (正) 夏目正太郎  
 飛島建設(株) (正) 谷本勉元助

### 1. まえがき

これまで我々の研究室では弾性論の有限要素解析に関して次の2つの系列の手法を開発してきている：

- (a) 節点連結による有限要素法<sup>1)</sup>
- (b) 辺連結による<平均値>有限要素法<sup>2)</sup>

いずれも、基礎微分方程式を満足する変位関数から出発して、変分原理を介在させることなく定式化を行なうものであって、各々一定の成果を收めている。

ここに報告する方法は、上記2つの方法を組合せさせて用いることによつて、要素辺と節点とで要素間の連結を行なおうとするものである。従つて要素の自由度は、通常の midside node を有する高次要素に於ける自由度と同一になる。以下では4角形要素を用いた平面応力問題への適用例について述べることにする。

### 2. 変位ベクトル、応力ベクトル

平面応力問題に於ける状態ベクトルを次式で定義する：

$$\begin{aligned} \bar{U}(x, y) = \begin{bmatrix} U \\ V \end{bmatrix} &= \begin{bmatrix} 1, x, y, & x^2, & y^2, & xy - \frac{2}{3(1-\nu)} y^3, & x^2y - \frac{1-\nu}{6} x^3, & x^4 + y^4 - 6x^2y^2, \\ 0, 0, 0, & -\frac{4}{1+\nu} xy, & -2\frac{1-\nu}{1+\nu} xy, & -\frac{1+\nu}{3(1-\nu)} x^3, & -\frac{1+\nu}{6} y^3, & 4(xy^3 - x^3y), \\ 0, 0, 0, & -2\frac{1-\nu}{1+\nu} xy, & -\frac{4}{1+\nu} x^2y, & -\frac{1+\nu}{6} x^3, & -\frac{1+\nu}{3(1-\nu)} y^3, & 4(x^3y - xy^3) \end{bmatrix} N - \frac{2(1-\nu)}{E} \begin{bmatrix} 0, xy \\ xy, 0 \end{bmatrix} [X] \\ &= P(x, y) N + A(x, y) K, \end{aligned} \quad (1a)$$

$$\nabla(x, y) = [O_x, O_y, Txy]^T = Q(x, y) N + B(x, y) K, \quad (1b)$$

ここに  $K = [X, Y]^T$  は物体カベクトル、また  $N$  は16個の未知定数から成る列ベクトルである。変位ベクトル(1a)は基礎微分方程式を満足するようになされている。

### 3. 節点変位 $\bar{U}^i$ 、節点力 $\bar{W}^i$

4角形要素の節点  $i$  に於いて節点変位  $\bar{U}^i$  および節点力  $\bar{W}^i$  をそれぞれ次式で定義する：

$$\bar{U}^i = \bar{U}(x_i, y_i) = P^i N + A^i K \quad (i=1, 2, 3, 4), \quad (2a)$$

$$\bar{W}^i = \begin{bmatrix} f_x \\ f_y \end{bmatrix}^i = \varepsilon \int_{\theta_j}^{\theta_k} \begin{bmatrix} \cos\theta & 0 & \sin\theta \\ 0 & \sin\theta & \cos\theta \end{bmatrix} \nabla^i d\theta = R^i N + C^i K \quad (i=1, 2, 3, 4), \quad (2b)$$

ここに  $\theta_j, \theta_k$  は要素辺  $i-j, i-k$  が  $x$  軸となす角である。

### 4. 平均値変位 $\bar{U}^i$ 、辺力 $\bar{W}^i$

要素の辺  $i$  に対する平均的変位量である平均値変位  $\bar{U}^i$  および辺に於ける全力である辺力  $\bar{W}^i$  をそれぞれ次式で定義する(図1)：

$$\bar{U}^i = \frac{1}{L_{jk}} \int_j^k \bar{U}(x, y) ds = \bar{P}^i N + \bar{A}^i K \quad (i=1, 2, 3, 4), \quad (3a)$$

$$\bar{W}^i = \begin{bmatrix} \bar{f}_x \\ \bar{f}_y \end{bmatrix}^i = \int_j^k \begin{bmatrix} \cos\phi & 0 & \sin\phi \\ 0 & \sin\phi & \cos\phi \end{bmatrix}_i \nabla(x, y) ds = \bar{R}^i N + \bar{C}^i K \quad (i=1, 2, 3, 4), \quad (3b)$$

ここに  $(\cos\phi, \sin\phi)_i$  は辺  $i$  に立てた法線  $\mathbf{r}$  の方向余弦である。係数マトリクス  $P^i, A^i, R^i, C^i$  は要素辺が直線であれば、容易に陽形に得ることができる。要素が曲がっているときには、1次元 Gauss 積分に依るところになろう。

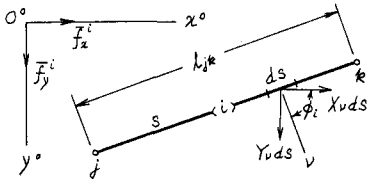


図1. 要素辺  $i$

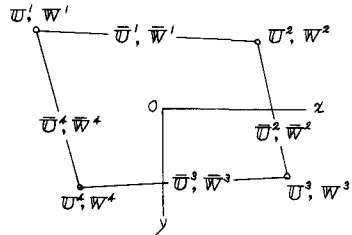


図2. 4角形要素(16自由度)

### 5. 要素剛性マトリクス

$(2a, b)$  お  $\perp$   $(3a, b)$  から  $N$  を消して次の要素剛性方程式を得る:

$$\frac{\bar{W}^1}{\bar{W}^1} = \left[ \begin{array}{c|cc|cc} R^1 & P^1 & \bar{P}^1 & U^1 & A^1 \\ \hline R^2 & P^2 & \bar{P}^2 & U^2 & A^2 \\ R^3 & P^3 & \bar{P}^3 & U^3 & A^3 \\ R^4 & P^4 & \bar{P}^4 & U^4 & A^4 \end{array} \right] - \left[ \begin{array}{c|cc|cc} A' & C' & C^1 & C^2 & C^3 & C^4 \\ \hline A'' & K & \bar{A}' & \bar{C}' & \bar{C}^2 & \bar{C}^3 & \bar{C}^4 \end{array} \right] K = \left[ \begin{array}{c|cc|cc|cc|cc|cc|cc} \alpha' \beta' \gamma' \delta' & \lambda' \mu' \nu' \sigma' & 0' & \bar{U}' & \bar{U}^1 & \bar{U}^2 & \bar{U}^3 & \bar{U}^4 & \bar{P}' \\ \alpha^2 \beta^2 \gamma^2 \delta^2 & \lambda^2 \mu^2 \nu^2 \sigma^2 & 0^2 & \bar{U}^2 & \bar{U}^4 & \bar{U}^1 & \bar{U}^3 & \bar{U}^2 & \bar{P}^2 \\ \alpha^3 \beta^3 \gamma^3 \delta^3 & \lambda^3 \mu^3 \nu^3 \sigma^3 & 0^3 & \bar{U}^3 & \bar{U}^1 & \bar{U}^2 & \bar{U}^4 & \bar{U}^3 & \bar{P}^3 \\ \alpha^4 \beta^4 \gamma^4 \delta^4 & \lambda^4 \mu^4 \nu^4 \sigma^4 & 0^4 & \bar{U}^4 & \bar{U}^2 & \bar{U}^3 & \bar{U}^1 & \bar{U}^4 & \bar{P}^4 \end{array} \right] + \left[ \begin{array}{c|cc|cc|cc|cc|cc|cc} \bar{\alpha}' \bar{\beta}' \bar{\gamma}' \bar{\delta}' & \bar{\lambda}' \bar{\mu}' \bar{\nu}' \bar{\sigma}' & 0' & \bar{U}' & \bar{U}^1 & \bar{U}^2 & \bar{U}^3 & \bar{U}^4 & \bar{P}' \\ \bar{\alpha}^2 \bar{\beta}^2 \bar{\gamma}^2 \bar{\delta}^2 & \bar{\lambda}^2 \bar{\mu}^2 \bar{\nu}^2 \bar{\sigma}^2 & 0^2 & \bar{U}^2 & \bar{U}^4 & \bar{U}^1 & \bar{U}^3 & \bar{U}^2 & \bar{P}^2 \\ \bar{\alpha}^3 \bar{\beta}^3 \bar{\gamma}^3 \bar{\delta}^3 & \bar{\lambda}^3 \bar{\mu}^3 \bar{\nu}^3 \bar{\sigma}^3 & 0^3 & \bar{U}^3 & \bar{U}^1 & \bar{U}^2 & \bar{U}^4 & \bar{U}^3 & \bar{P}^3 \\ \bar{\alpha}^4 \bar{\beta}^4 \bar{\gamma}^4 \bar{\delta}^4 & \bar{\lambda}^4 \bar{\mu}^4 \bar{\nu}^4 \bar{\sigma}^4 & 0^4 & \bar{U}^4 & \bar{U}^2 & \bar{U}^3 & \bar{U}^1 & \bar{U}^4 & \bar{P}^4 \end{array} \right] K. \quad (4)$$

### 6. 力釣合い条件と全体剛性方程式

図3を参照すると、節点および辺に於ける力の釣合い条件はそれぞれ次のようになる:

$$\text{節点: } \bar{W}_{rs}^1 + \bar{W}_{r-1,s}^2 + \bar{W}_{r-1,s-1}^3 + \bar{W}_{r,s-1}^4 + \bar{F} = 0, \quad (5)$$

$$\text{辺: } \bar{W}_{rs}^1 + \bar{W}_{r,s-1}^4 + \bar{F} = 0. \quad (6)$$

系のすべての節点および辺について(5), (6)の型の式を立て、(4)を用いれば、節点変位・平均値変位を未知量とする全体剛性方程式を得る。

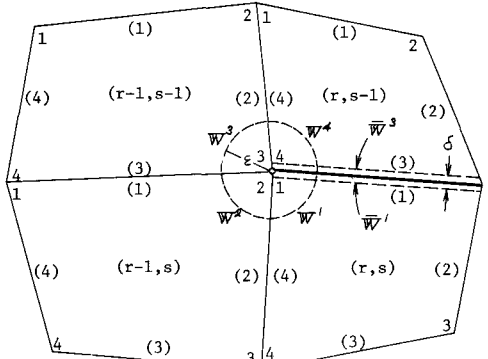


図3. 力の釣合い条件

### <参考文献>

- 1) 桑沢, 谷本, 夏目; “分布荷重による有限要素法(第1報),” 28回土木学会年次学術講演会概要集第1部.
- 2) 灰永, 谷本, 長谷; “漸近法に基づいた平均値有限要素解析,” 32回.